

## I-7 可変計量法を用いた最大荷重設計法と最小重量設計法との比較

室蘭工業大学 学生員 橋本克己  
室蘭工業大学 正員 杉本博之

## 1. まえがき

現在、構造物、構造物要素の最適設計に関する研究では、最小重量設計法が中心であるが、この最小重量設計法に対して、まったく別な定式化が考えられた。この新しい定式化は、重量一定のもとに、載荷荷重を最大にすることによって、最適化を行うもので最大荷重設計法<sup>(1)(2)(3)</sup>と呼ばれるものである。

この最大荷重設計法は、重量一定という条件から、設計変数をノット減らす効果と、変位および応力に関する制約条件をなくする利点がある反面、目的関数において導関数の不連続な点が多く存在することから、導関数を利用した効率の良い最適化手法(可変計量法など)を用いることは不可能であると思われ、直接探索(Powellの共役方向法<sup>(4)</sup>など)が用いられて来た。しかし、最大荷重設計法の効率を上げるには、可変計量法の使用は必要であると考えられる。

そこで、本報告では、最大荷重設計法に可変計量法を応用し、従来の直接探索法による結果と、その収束性、効率をまず比較し、可変計量法の応用の可能性を検討した。次に、以上の結果を参考にして、以前に議論<sup>(5)</sup>があった最大荷重設計法と最小重量設計法との比較について、若干の考察を加えた。

## 2. 最小重量設計法と最大荷重設計法

両者の定式化の前に、次の事項を説明する。m 個の制約条件に対して、満足すべき設計とは、次式を満足する設計変数を定めることである。

$$D_j(P, \mathbb{X}) \leq C_j(\mathbb{X}) \quad (j=1, m) \quad (1)$$

ここで、  
j: 設計上検討の必要のある制約条件の番号

D<sub>j</sub>: j 項目の設計関数(応力、変位など)

C<sub>j</sub>: j 項目の規定関数(制約条件 j に対して、制約値を示す量)

P: 構造に作用する荷重系

X: 設計変数(断面積など)

本報告では、P を比例荷重として扱うため、P は次式のように表わすことができる。

$$P = (P_1, P_2, \dots, P_k) = P \cdot (P_1/P, P_2/P, \dots, P_k/P) = P \cdot Q \quad (2)$$

ここで、Q は定数ベクトルとなり、P は单一の荷重変数である。(以後、Q のことを単位荷重系と呼ぶ)

一般の設計では、D<sub>j</sub> は荷重に関して、線形応答を示すため

$$D_j(P, \mathbb{X}) = P \cdot S_j(Q, \mathbb{X}) \quad (j=1, m) \quad (3)$$

のように、荷重変数 P と単位荷重系 Q に対する構造物の応答を示す構造解析関数 S<sub>j</sub> の積で表わすことができるため、式(1)は次のようになる。

$$P \cdot S_j(Q, \mathbb{X}) \leq C_j(\mathbb{X}) \quad (j=1, m) \quad (4)$$

2-1 最小重量設計法 最小重量設計法を定式化すると

$$W(\mathbb{X}) \rightarrow \min \quad (5)$$

$$P \cdot S_j(Q, \mathbb{X}) \leq C_j(\mathbb{X}) \quad (j=1, m) \quad (6)$$

ここで、W は構造総重量である。P、Q は設計者が与えるものである。

2-2 最大荷重設計法 最大荷重設計法は、最小重量設計法の対偶を考え、「一定の構造総重量、荷重配置のもとで、載荷荷重を最大となるように X を定める。」と定義される。定式化すれば、

$$P \rightarrow \max \quad (7)$$

$$P \cdot S_j(Q, \mathbb{X}) \leq C_j(\mathbb{X}) \quad (j=1, m) \quad (8)$$

$$W = \text{const.} \quad (9)$$

ここで、W、Q は設計者が与えるものである。さらに、式(7)～式(9)は

$$P \rightarrow \max \quad (10)$$

$$P \leq C(\mathbb{X}) / S(Q, \mathbb{X}) \quad (11)$$

$$W = \text{const.} \quad (12)$$

のように変形され、結局次のようになる。

$$\min(P_j(X)) \rightarrow \max(j=1, m) \quad (13)$$

$$W = \text{const.} \quad (14)$$

ここで、 $P_j(X)$ は  $P_j(X) = C_j(A)/S_j(Q, X)$  で状態能力関数と名付ける。

最大荷重設計法における目的関数は式(13)の  $\min(P_j)$  で示される。 $\min(P_j) \rightarrow \max$  を概念的に図-1で示す。

図のように、この目的関数は、次の関数が不連続な点を多く有している。このために、この関数の最適化には

従来 Powell の共役方向法が、用いられて来たと思われる。しかし、Powell の共役方向法自身も、基本的には、連続関数を対象として考えられたものであり、Powell の共役方向法が応用できる問題には BFGS 等の可変計量法の有効な応用は、当然考えられることである。そこで、以下に説明する最適設計問題に、可変計量法による最大可重設計法を適用し、解の精度、効率等を Powell の共役方向法の結果と比較した。

以下の数値計算において、Powell の共役方向法以外の最適化手法はすべて、筆者の 1 人が米国海軍大学院において、Vanderplaats 博士と共同開発した、汎用最適化プログラム ADS<sup>(6)(7)</sup> に組み込まれている手法を利用した。

### 3. 構造モデル及び最適設計

本報告で対象とした最適設計問題を以下に示す。

3-1 3 本トラスと 7 本トラス それぞれのトラスの概要は図-2、図-3 に示す。

(1) 最小重量設計法 設計変数としては、部材長一定のためそれぞれの各部材の断面積とする。制約条件は、許容応力度と最小断面積を考慮するため、次のようにある。

$$\sigma_{ta} \leq \sigma_j \leq \sigma_a \quad (j=1, m)$$

$$A_i \geq A_{\min} \quad (i=1, n)$$

目的関数は、各部材の重量の和とするので次のようにある。

$$W = \sum_{i=1}^m A_i \cdot l_i \cdot \rho$$

最適化手法には、Powell の逐次 2 次計画<sup>(8)(9)</sup> を用いた。

(2) 最大荷重設計法 設計変数としては、重量一定の条件から、3 本トラスでは断面積  $A_3$  を、7 本トラスでは断面積  $A_7$  を従属変数として取り扱ったため、3 本トラスで  $A_1$  と  $A_2$ 、7 本トラスで  $A_1, A_2, \dots, A_6$  となる。制約条件は、最小断面積のみを考慮すればよいため、次のようにある。

$$A_i \geq A_{\min} \quad (i=1, n)$$

目的関数は、単位荷重系 ( $P=1$ ) を与えた時の部材応力  $\sigma_j$  と許容応力  $\sigma_a$  によって求まる  $P_j (= \sigma_a / \sigma_j)$  より

$$P = \min(P_j) \quad (j=1, m)$$

最適化手法には、BFGS 法<sup>(10)</sup> を用いた。

以上で、 $m$  : 制約条件の数、 $n$  : 各トラスの部材数、 $A_i$  : 各トラスの  $i$  部材の断面積、 $l_i$  : 各トラスの  $i$  部材の部材長、 $\sigma_{ta}$  :

許容軸方向引張応力  $1500 \text{ kg/cm}^2$ 、 $\sigma_a$  : 許容軸方向圧縮応力度  $-1000 \text{ kg/cm}^2$ 、 $A_{\min}$  : 最小断面積  $0.1 \text{ cm}^2$   
 $\rho$  : 単位体積重量  $0.00785 \text{ kg/cm}^3$

3-2 軸力部材断面 図-4 に示す軸対称 H 形断面積の柱を取り扱う。考慮した条件は、道路橋示方書<sup>(11)</sup>により、1) 許容軸方向圧縮応力度、2) 腹板の制限、3) フランジの板厚制限、4) 細長比の

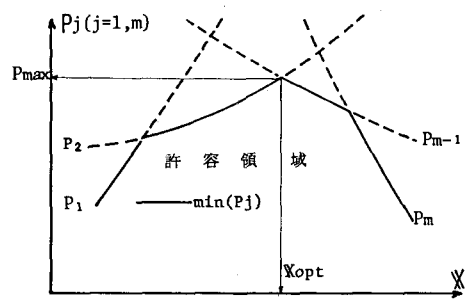


図-1 目的関数( $\min P_j$ )と状態能力関数( $P_j$ )

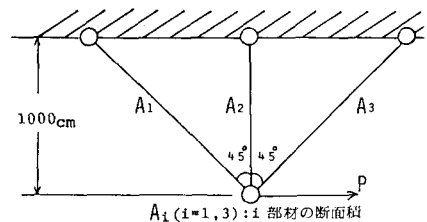


図-2 3 本トラス

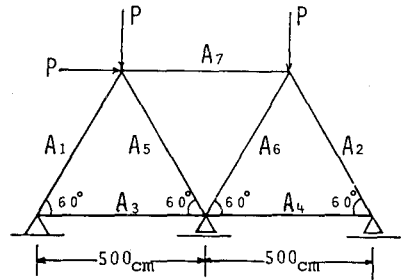


図-3 7 本トラス

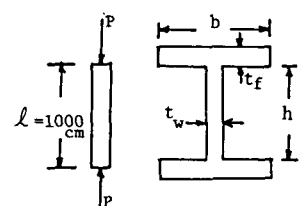


図-4 軸力部材断面

に関する制限である。

(1) 最小重量設計法 設計変数は、フランジ幅、フランジ板厚、腹板高、腹板厚とする。制約条件は示方書により次のようになる。

$$\begin{aligned} \sigma &\leq \sigma_{ca}, \quad t_w \geq \max(0.8, h/56.0) \quad (\text{cm}) \\ r &\leq l/12.0, \quad t_f \geq \max(0.8, (b-t_w)/32.0) \quad (\text{cm}) \end{aligned}$$

目的関数は、柱の長さが一定のため、断面積とするので

$$A = 2 \cdot b \cdot t_f + h \cdot t_w$$

最適手法には、拡張ラグランジ乗数法<sup>(12)</sup>を用いた。

(2) 最大荷重設計法 設計変数は、断面積一定の条件から、フランジ幅、フランジ板厚、腹板高とし、腹板厚を従属変数とする。制約条件は、最小重量設計法の制約条件から、許容軸方向圧縮力度を除き、あとは同様である。

目的関数は次のようになる。

$$P_j = A \cdot \sigma_{ca}$$

最適手法には、Powellの逐次2次計画法を用いた。

以上で、 $\sigma_{ca}$ ：許容軸方向圧縮応力度、 $\sigma_{ca} = \sigma_{cag} \cdot \sigma_{cal} / \sigma_{cao}$ により求まり、 $\sigma_{cag}$ は局部座屈を考慮しない許容軸方向圧縮応力度、 $\sigma_{cal}$ は局部座屈に対する許容応力度、 $\sigma_{cao}$ は局部座屈を考慮しない許容軸方向圧縮応力度の上限値、 $\gamma$ ：断面2次半径、なお、鋼種はSS41である。

#### 4. 計算結果及び考察

3つの構造モデルについて、解析回数を以下に示す。

4-1 最大荷重設計法における最適手法の比較 Powellの共役方向法とBFGS法との比較を3-1のトラスの設計で検討した。ここで、最大荷重設計法の重量は最小重量設計法で  $P = 100t$  を載荷した時の最適値を与えた。3本トラスでは  $645.7 \text{ kg}$ 、7本トラスでは  $1464.9 \text{ kg}$  となった。これは最大荷重設計法の収束値が  $100t$  前後になれば、最適な収束値であることを意味する。各トラスの解析結果を表-1に示す。3本トラス、7本トラス共に、どちらの手法もほぼ  $100t$  になり、どちらも最適値であるといえる。収束の効率では、BFGSの方が共役方向法と比べて、3本トラスでは  $1/3$ 、7本トラスでは  $1/12$  の解析回数で収束している。

4-2 最大荷重設計法と最小重量設計法との比較 比較するに当って、軸力部材断面、3本トラス、7本トラスの計算結果で検討した。最大荷重設計法では、重量  $W$ 、または断面積  $A$  は適當な値を数個与え、それぞれ数個の収束値と解析回数を求めた。その結果を、軸力部材断面は図-5

		POWELLの 共役方向法	BFGS法
3 本 ト ラ ス	収束値	99.98t	100.01t
	解釈回数	200 回	73 回
	A <sub>1</sub>	47.1 cm <sup>2</sup>	47.1 cm <sup>2</sup>
	A <sub>2</sub>	0.1	0.1
	A <sub>3</sub>	70.8	70.8
	収束値	99.71t	99.66t
	解釈回数	2158 回	182 回
7 本 ト ラ ス	A <sub>1</sub>	21.7 cm <sup>2</sup>	21.9 cm <sup>2</sup>
	A <sub>2</sub>	67.6	67.1
	A <sub>3</sub>	56.0	55.6
	A <sub>4</sub>	22.7	22.7
	A <sub>5</sub>	147.3	147.7
	A <sub>6</sub>	47.9	48.6
	A <sub>7</sub>	10.1	9.7

表-1 最適化手法の比較

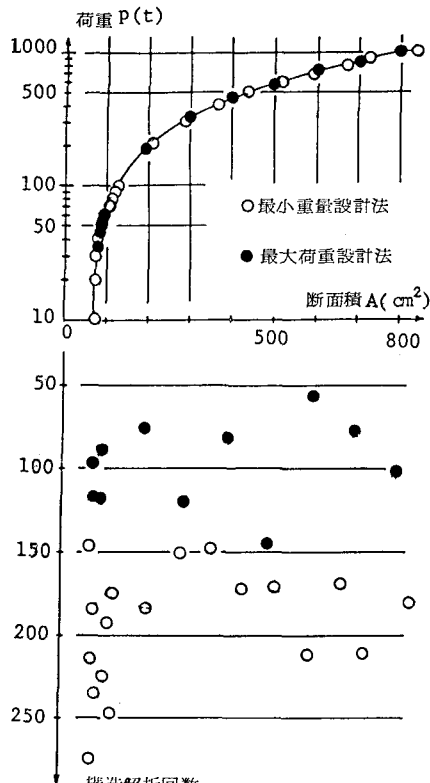


図-5 軸力部材断面の結果

に、3本トラスは図-6に、7本トラスは図-7に示した。最大荷重設計法の最適化手法は、上記の結果より、可変計量法(BFGS法)を使用している。軸力部材断面の設計では、図-5より、断面積と荷重の関係は、両設計法の収束値ともに同一の曲線上に分布している。これは、両設計法とも、最適値であることを示している。解析回数を見ると、最大荷重設計法の方が収束の効率が良いことがわかる。次に3本トラスの設計では、図-6より、重量と荷重の関係は、両手法の収束値とも、同一の直線上に分布しており、最適値であることを示しているが、解析回数については、平均値を取ると、最大荷重設計法が

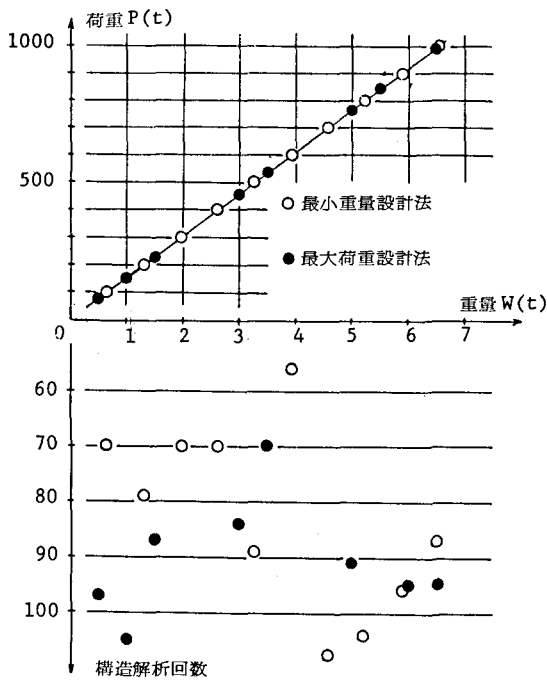


図-6 3本トラスの結果

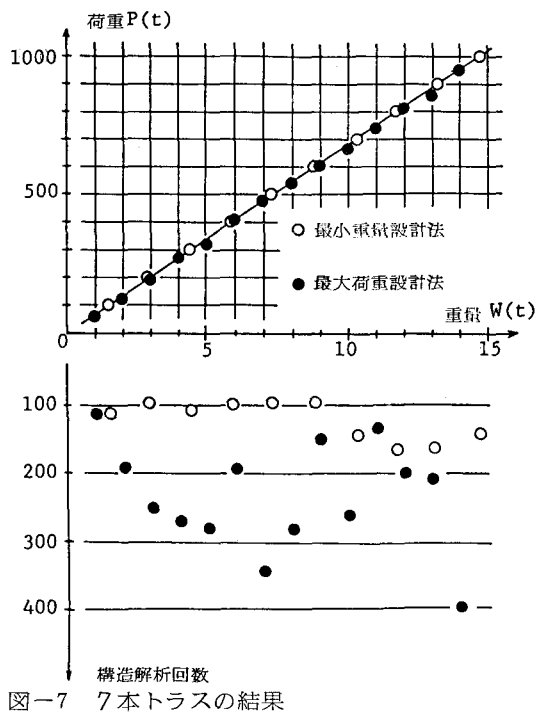


図-7 7本トラスの結果

89回、最小重量設計法が83回、と大きな違いは見られない。最後に、7本トラスの設計では、図-7より、解の精度はほとんど同じであるが、解析回数は最小重量設計法の方が若干少ない。

## 5. 結論

- 1) 本報告の計算例から、最大荷重設計法の最適化手法としては、Powellの共役方向法よりも、可変計量法の方が効率が良い。これは、両最適化手法の特性より、当然予想されたことである。
- 2) 最大荷重設計法と最小重量設計法との比較については、本報告の結果から、最大荷重設計法の方が効率が良いことになる。しかし、これは、最大荷重設計法で解ける問題で比較する場合には、手法の理論的特性より、当然の結果であり、実際の設計問題等、応用の汎用性を考慮に入れる時、両者の比較は同一の規準ではできない。
- 3) ただし以上は、最大荷重設計法の、特種な問題に対する優れた解法能力を否定するものではない。
- 4) 最大荷重設計法の最適化計算の1、2の例で、解の収束が困難な場合があった。これは、問題の変換の結果、目的関数が数値的悪条件になっていると予想されるが、今後検討する予定である。

## 6. 参考文献

- (1) 長谷川彰夫「最適設計手法としての最大荷重設計」、第33回土木学会年次講演集第1部
- (2) 長谷川彰夫、福岡誠司、松浦豊「最大荷重設計によるプレートガーダーの最適設計」、第34回土木学会年次講演集第1部
- (3) 長谷川彰夫、阪上精希、松浦豊「最大荷重設計法による骨組構造の最適化」、土木学会論文報告集第321号、1982年5月
- (4) 山下浩、今野浩、「非線形計画法」、日科技連、第8章 pp. 169~195
- (5) 「最大荷重設計による骨組構造の最適化」への討議および回答、土木学会論文報告集第333号、1983年5月  
討論者・・・石川信隆、杉本博之 回答者・・・長谷川彰夫、阪上精希、松浦豊
- (6) Vanderplaats, G. N., Sugimoto, H. and Sprague, C. N. :ADS-1, A New General-Purpose Optimization Program, Proc. AIAA/ASME/ASCE/AHS 24th Structures, Structural Dynamics and Materials Conference, Lake Tahoe, Nevada, May 2-4, 1983.
- (7) Vanderplaats, G. N. and Sugimoto, H. :Numerical Optimization Techniques for Mechanical Design, International Symposium on Design and Synthesis in Tokyo, July 11-13, 1984
- (8) Powell, M. J. D. :Algorithms for Nonlinear Constraints that use Lagrangian Function Mathematical Programming, Vol.14, No.2, 1978, pp.224-248
- (9) Powell, M. J. D. :The Convergence of Variable Metric Method for Nonlinearly Constrained Optimization Calculation, Proc. Nonlinear Programming Symposium 3, Madison, Wisconsin
- (10) 山下浩、今野浩、「非線形計画法」、日科技連、9章 pp. 196~216
- (11) 日本道路協会「道路橋示方書・同解説 共通編・鋼橋編」昭和55年 2月
- (12) Rockafellar, R. T. :The Multiplier Method of Hestenes and Powell Applied to Convex Programming, Journal of Optimization Theory and Application, Vol.12, No.6, 1973, pp.555-562